УЛК 546.650

ОДНОВАЛЕНТНЫЙ ТУЛИЙ. СИНТЕЗ И СВОЙСТВА TmI

© 2023 г. А. А. Фагин¹, С. Ю. Бухвалова^{1, *}, В. А. Куропатов¹, М. Н. Бочкарев^{1, **}

¹Институт металлоорганической химии им. Г.А. Разуваева РАН, Нижний Новгород, Россия *e-mail: sv-4.4.1991@iomc.ras.ru

**e-mail: mboch@iomc.ras.ru
Поступила в редакцию 02.09.2022 г.
После доработки 12.10.2022 г.
Принята к публикации 25.10.2022 г.

Реакцией опилок тулия с иодом при 680° С получена трудно разделимая смесь продуктов A, состоящая из металлического тулия (65%), TmI_2 (14%) и TmI (21%). Иодид одновалентного тулия не удается выделить в индивидуальном состоянии, но его присутствие в продуктах подтверждается, кроме магнитных измерений, реакциями с нафталином и периленом, протекающими в мягких условиях. Реакция TmI с нафталином, протекающая при -40° С, дает комплекс трехвалентного тулия с дианионом нафталина [$TmI(C_{10}H_8)(DME)_3$]. Многостадийная реакция с периленом начинается с образования анион-радикального комплекса двухвалентного тулия [$(TmI)^+(C_{20}H_{12})^{-*}(DME)_3$] и заканчивается формированием комплекса трехвалентного тулия [$(TmI)^{2+}(C_{20}H_{12})^{2-}(DME)_3$]. Присутствие в реакционной смеси на начальном этапе анион-радикального интермедиата подтверждено данными спектроскопии $\Theta\Pi$ Р.

Ключевые слова: одновалентный тулий, иодид тулия, магнитный момент, реакционная способность, нафталин, перилен, анион-радикал

DOI: 10.31857/S0132344X22600357, EDN: PORYUS

Проблема получения и определения свойств соединений, содержащих одновалентный металл — одна из наиболее трудных в химии лантаноидов. Среди элементов ІІІ группы, не имеющих f-электронов (Sc, Y, La), только для скандия был получен комплекс, содержащий металл в степени окисления +1: трехпалубный π -ареновый комплекс $[(t-Bu)_2C_2P_3]$ Sc $[(t-Bu)_2C_3P_3]$ Sc $[(t-BuC)_2C_2P_3]$ был синтезирован соконденсацией паров скандия и алкилфосфина t-BuC=P в смеси с комплексом Sc^{2+} [Sc(t-BuC $)_2C_2P_3$) $_2$] [1]. Валентное состояние скандия подтверждает эффективный магнитный момент ($\mu_{3\phi\phi}$) продуктов (3.98 М.Б. для Sc(I) и 1.7 М.Б. для Sc(II)), спектр ЭПР для комплекса Sc(II) и данные PCA для комплекса Sc(II) [1, 2].

Для моноиодида лантана LaI, полученного длительным нагреванием LaI $_3$ с металлическим лантаном при 750°С [3], валентное состояние авторы работы не приводят, однако металлоподобные свойства вещества говорят о формально трехвалентном состоянии металла. Подобные бинарные галогениды состава LnX_2 , обладающие металлической проводимостью, получены для большинства лантаноидов [4]. В ряду лантаноидов одновалентные производные без строгого подтверждения валентного состояния металла и химических характеристик известны для Pr, Sm, Tb, Tm и Yb. Сообщается, что хлорид одновалентного самария образуется при

гамма-облучении дихлорида SmCl₂ в матрице KCl [5]. Основанием для предположения является полоса при 545 нм, появляющаяся в спектре поглощения при облучении, и одновременное уменьшение полос двухвалентного хлорида. Образование галогенидов одновалентного иттербия YbX постулируется в реакциях металлического иттербия с алкилгалогенидами RX в специфических условиях реакции молекулярного пучка атомов иттербия при 480°C с газообразными алкилгалогенидами [6]. В качестве подтверждения приводится возбуждаемая лазером флуоресценция в области 5350—6450 Å, отнесенная к эмиссии молекул YbX. В аналогичных условиях были получены анионные бор-лантаноидные кластеры LnB_8^- (Pr, Tb, Tm, Yb), присутствие которых в потоке ионов, генерируемых при лазерном одновременном испарении металла и бора, зарегистрировано методом массспектрометрии [7]. В поиске не содержащих ртуть люминесцентных материалов для газоразрядных ламп высокого давления были протестированы трииодиды гадолиния, диспрозия, гольмия и тулия [8, 9]. Было установлено, что все соединения в газоразрядной плазме при 3000-4000 К генерируют излучение в области 450-700 нм, спектр которого отнесен к эмиссии молекул LnI. Предполагается, что иодиды одновалентных неодима и диспрозия LnI образуются в виде чрезвычайно активных промежуточных частиц при диспро-

порционировании дииодидов LnI_2 в среде тетрагидрофурана или диметоксиэтана (ДМЭ) [10].

$$2LnI_2 \longrightarrow [LnI_3]^- [LnI]^+ \longrightarrow LnI_3 + LnI (Ln = Nd, Dy)$$

Высокая реакционная способность NdI и DyI обусловливает легко протекающие реакции дииодидов NdI_2 и DyI_2 с реагентами, инертными по отношению к дииодидам других лантаноидов, включая тулий [4, 11]. Эта особенность позволяет получить дополнительное косвенное подтверждение образования одновалентного тулия в ниже приведенных реакциях.

Ранее мы установили, что реакции металлического тулия с иодидом калия и дииодида тулия ${\rm TmI}_2$ с дииодидом неодима ${\rm NdI}_2$ приводят к образованию смесей иодидов, содержащих, согласно данным магнитных измерений, иодид одновалентного тулия ${\rm TmI}$ с электронной конфигурацией металла $4f^{14}$ [12]. В обеих реакциях образующаяся трудно разделимая смесь продуктов содержит другие химически активные компоненты, что затрудняет исследование свойств целевого ${\rm TmI}$. В настоящей работе сообщается о разработке более удобного метода получения ${\rm TmI}$ и исследовании его реакционной способности.

ЭКСПЕРИМЕНТАЛЬНАЯ ЧАСТЬ

Реакции проводили в вакуумированных запаянных ампулах из боросиликатного стекла Ругех объемом 2—3 мл в условиях, исключающих контакт с воздухом. В реакциях использовали опилки Тт (22—40 меш) и иод (98.7%). Перед использованием иод очищали двукратной возгонкой в вакууме. ДМЭ осушали, выдерживая над бензофенон-кетилом натрия, и отбирали в реакцию конденсацией в вакууме. Содержание тулия в образцах определяли комплексонометрически с использованием ксиленола оранжевого в качестве индикатора. Содержание иода определяли с использованием обратной аргентометрии (по методу Фольгарда).

ИК-спектры записывали на Фурье-спектрометре ФСМ-1201 в диапазоне 4000—450 см⁻¹. Образцы готовили в виде суспензии в вазелиновом масле. Элементный анализ выполняли на анализаторе Elementar Vario ELcube Analyzer. ЭПР спектры регистрировали на спектрометре Bruker ESR 200D-SCR. Измерение магнитных моментов выполняли при комнатной температуре на изготовленном в лаборатории приборе, основанном на методе Фарадея, с использованием сравнения с известными образцами, как описано ранее [13]. Ошибка измерений не превышает 5%. Для нагревания образцов использовали трубчатую печь Nabertherm.

Рентгеноструктурные данные получены на дифрактометре SMART APEX (графитовый монохроматор, Мо K_{α} -излучение, ϕ - ω -сканирование, $\lambda = 0.71073$ Å).

Синтез TmI. Опилки тулия (200 мг, 1.2 ммоль) помещали в ампулу (50 × 10 мм) и нагревали до 700°С в динамическом вакууме для удаления адсорбированных газов и воды. После охлаждения к опилкам добавляли иод (75 мг, 0.3 ммоль), ампулу запаивали и смесь перемешивали продолжительным встряхиванием. Ампулу устанавливали в горизонтальное положение и смесь встряхиванием распределяли равномерно по всей длине ампулы. Один конец ампулы нагревали газовой горелкой до воспламенения смеси. В течение нескольких секунд горящая зона распространялась вдоль всего слоя реакционной смеси. Ампулу с образовавшимся черно-коричневым слитком иодидов помещали в печь и нагревали в течение 1 ч при 680°C. После остывания образовавшийся слиток охлаждали в жидком азоте и разбивали осторожным постукиванием ампулы о твердую поверхность. Часть полученной смеси продуктов (А) использовали для измерения магнитного момента. Значение μ_{add} образца найден равным 6.0 М.Б. Принимая во внимание стехиометрию исходных реагентов и состав полученного вещества (металлический тулий ($\mu_{\text{эфф}}$ 7.5 М.Б.), TmI $_2$ ($\mu_{\text{эфф}}$ 4.5 М.Б.) и TmI $(\mu_{\text{эфф}} \ 0.0 \ \text{M.Б.})),$ найденный магнитный момент соответствует смеси Тт(мет.) 65%, ТтІ, 14% и Тт 21%, что, в свою очередь, соответствует выходу целевого ТтІ 73 мг (41%).

Реакция Тт с нафталином. К 300 мг смеси А, полученной аналогично предыдущему эксперименту, при температуре —40°C добавляли раствор 34 мг (0.268 ммоль) нафталина в 7 мл ДМЭ. При перемешивании раствор окрашивался в ярко-зеленый цвет. Раствор декантацией отделяли от осадка опилок тулия, которые еще раз промывали ДМЭ. Из объединенных растворов удаляли растворитель конденсацией в вакууме. Образовался продукт в виде темно-зеленого некристаллического крайне чувствительного к воздуху твердого вещества. Осадок промывали эфиром и высушили в вакууме. Выделили 190 мг зеленого мелкокристаллического порошка. При перекристаллизации продукта из ДМЭ получено 112 мг зеленых кристаллов TmI₂(DME)₃ (подтверждено данными РСА [14]) и 75 мг (40% в расчете на образовавшийся одновалентный Tm) комплекса $[TmI(C_{10}H_8)(DME)_3]$ (I) в виде бесцветного некристаллического порошка. Магнитный момент 7.1 М.Б.

ИК спектр (v, см⁻¹): 1460, 1377, 1290, 1285, 1250, 1240, 1150, 1112, 1084, 1071, 1019, 971, 856, 830, 791, 726, 577, 559).

Найдено, %: С 37.91; Н 5.57.

Для C₂₂H₃₈O₆ITm

вычислено, %: С 38.05; Н 5.52.

Реакция ТтІ с периленом. К 284 мг смеси А. полученной аналогично предыдущему эксперименту, добавляли перилен (61 мг, 0.24 ммоль) и при температуре -60°C конденсацией в вакууме добавляли 6 мл ДМЭ. Наблюдали мгновенное образование темно-синего раствора. В течение 5 мин цвет раствора изменился на зеленый. Раствор отделяли декантацией от осадка опилок металла. Осадок промывали эфиром и высушивали в вакууме. Получено 140 мг зеленого мелкокристаллического порошка, дробной перекристаллизацией которого из ДМЭ получено 28 мг темно-зеленых кристаллов $TmI_2(DME)_3$ (идентифицирован методом РСА [14]) и 110 мг (52% в расчете на образовавшийся одновалентный Тт) бледномелкокристаллического зеленого порошка $[TmI(C_{20}H_{12})(DME)_3]$ (II). Магнитный момент 7.0 М.Б.

ИК спектр (v, см⁻¹): 1945, 1849, 1593, 1462, 1379, 1259, 1209, 1094, 1016, 961, 869, 840, 783, 723, 663, 616, 480, 475).

Спектр УФ-вид. (ДМЭ): λ_{max} , 515 нм.

Найдено, %: С 46.61; Н 5.11.

Для $C_{32}H_{42}O_6ITm$

вычислено, %: С 46.96; Н 5.17.

Для регистрации ЭПР спектра продуктов реакцию проводили непосредственно в аналитической ампуле, добавляя ДМЭ к смеси перилена и иодидов тулия при температуре 170 К.

РЕЗУЛЬТАТЫ И ИХ ОБСУЖДЕНИЕ

При разработке метода получения TmI прямой реакцией тулия с иодом было установлено, что смесь иодидов с наибольшим содержанием целевого продукта (21%), соответствующим наименьшему магнитному моменту смеси (6.0 М.Б.), образуется при использовании двукратного мольного избытка металла. Начальная стадия синтеза (2—3 с) сопровождается яркой вспышкой и большим выделением тепла. Несмотря на развивающуюся в зоне реакции высокую температуру (выше 1300°С), процесс не успевает завершиться. Образующийся в виде темно-коричневого слитка про-

дукт имеет $\mu_{\rm эфф}$ 6.9 М.Б. в расчете на содержащийся тулий, что соответствует смеси Tm(мет.) 77%, Tm²⁺ 21% и Tm¹⁺ 2%. При последующем нагревании образца при температуре 680°С магнитный момент понижается и через 1 ч достигает значения 6.0 М.Б. С учетом соотношения взятых в реакцию тулия и иода полученная величина $\mu_{\rm эфф}$ может отвечать композиции Tm(мет.) 65%, Tm²⁺ 14% и Tm¹⁺ 21%. Дальнейшее нагревание в тех же условиях приводит к повышению $\mu_{\rm эфф}$.

Для подтверждения образования одновалентного иодида TmI в реакциях тулия с иодом и исследования его реакционной способности проведены реакции с нафталином и периленом. Ранее было показано, что побочный TmI₂, всегда присутствующий в продукте А в виде неотделимой примеси, по отношению к нафталину инертен [15]. В настоящем исследовании мы установили, что перилен тоже не реагирует с TmI_2 даже при нагревании до 60°C в растворе ДМЭ. В отличие от этого добавление ДМЭ к смеси продукта А и нафталина при –40°C приводит к немедленному образованию темно-зеленого раствора. Остающийся после удаления растворителя темно-зеленый мелкокристаллический продукт при комнатной температуре быстро светлеет, образуя через несколько минут смесь зеленых кристаллов TmI₂(DME)₃ и бесцветного вещества, элементный состав и ИК-спектр которого отвечают формуле $TmI(C_{10}H_8)(DME)_3$ (I). Магнитный момент продукта 7.7 М.Б. соответствует трехвалентному тулию. Наблюдаемые превращения объясняются, по-видимому, окислением на начальной стадии одновалентного тулия нафталином с образованием неустойчивого зеленого комплекса двухвалентного тулия с анионрадикалом нафталина $[(TmI)^+(C_{10}H_8)^{-1}]$, который вследствие внутримолекулярного переноса электрона быстро трансформируется в устойчивый бесцветный комплекс трехвалентного тулия с дианионом нафталина $[(TmI)^{2+}(C_{10}H_8)^{2-}(DME)_3]$ (схема 1). Попытки зарегистрировать спектр ЭПР анион-радикала нафталина в интермедиате $[(TmI)^+(C_{10}H_8)^{-1}]$ или провести измерение магнитного момента оказались безуспешными из-за его крайне низкой стабильности. Попытки получить конечный стабильный продукт в виде кристаллов, пригодных для РСА, также были безуспешны; можно предположить, что структура этого комплекса сходна с таковой его диспрозиевого аналога $[DyI(C_{10}H_8)(DME)_2]$, ранее полученного из дииодида диспрозия и нафталина [16].

$$TmI + C_{10}H_8 \xrightarrow{DME} [ITm(C_{10}H_8)^{-1}(DME)_x] \xrightarrow{DME} DME$$

$$DME Tm - I$$

$$DME$$

$$DME$$

$$DME$$

$$DME$$

$$DME$$

Схема 1.

Возможным альтернативным объяснением легко протекающей реакции нафталина с продуктом А могла бы быть активация поверхности тулия иодом. Известно, что такой прием нередко используется для активации не только непереходных металлов [17—19], но и лантаноидов [20, 21]. Однако в данном случае активация металла иодом не происходит, что было установлено в отдельном эксперименте, который показал, что активированный иодом тулий в принятых условиях с нафталином не реагирует.

Перилен, так же как нафталин, легко реагирует с TmI, но образующиеся продукты в этом случае более устойчивы, что позволило зарегистрировать ЭПР спектр интермедиата (рис. 1). Наблюдающееся в процессе взаимодействия изменение цвета реакционного раствора, появление и быстрое затухание ЭПР спектра анион-радикала перилена и состав конечного продукта свидетельствуют о многостадийном характере реакции (схема 2). Предполагается, что на первой стадии моноиодид TmI восстанавливает перилен до анион-радикала, образуя темно-синий комплекс двухвалентного тулия $[ITm^{2+}(C_{20}H_{12})^{-+}(DME)_{3}]$.

В спектре ЭПР раствора обнаруживается один уширенный сигнал (ширина линии 4.9 Гс, g = 2.0010). При повышении температуры интенсивность сигнала быстро падает; при 260 К сигнал пропадает полностью. Одновременно с падением интенсивности сигнала цвет раствора меняется на зеленый, а спектр постепенно превращается в

суперпозицию двух сигналов. По сравнению с первичным, интенсивность вторичного сигнала значительно ниже. Вторичный спектр хорошо разрешен, его параметры характерны для свободного анион-радикала перилена [22]. Отсутствие анизотропного уширения и значение д-фактора первого сигнала позволяют отнести его к моноядерному продукту восстановления перилена моновалентным иодидом тулия (интермедиат). В этом случае неспаренный электрон должен быть преимущественно делокализован на анион-радикале перилена, а неразрешенная сверхтонкая структура спектра может быть связана с асимметрией координации катиона тулия, что сопровождается снижением симметрии делокализации спиновой плотности по периленовому фрагменту. Образование небольшого количества свободного анион-радикала перилена, обнаруживаемого методом ЭПР, может быть объяснено частичным распадом нестабильного анион-радикального интермедиата с повышением температуры. На второй стадии темно-синий цвет раствора и начальный сигнал в спектре ЭПР исчезают. Раствор становится зеленым из-за присутствия в нем TmI₂, содержащегося в исходной смеси А. Предполагается, что эти превращения, как и в реакции с нафталином, являются результатом внутримолекулярного окислительно-восстановительного процесса, приводящего к образованию соединения трехвалентного тулия с дианионом перилена (II).

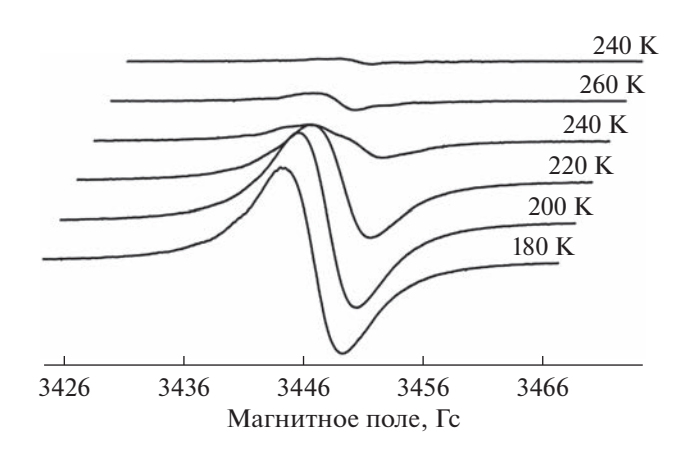


Рис. 1. Температурная зависимость спектра ЭПР [$\mathrm{ITm}^{2+}(\mathrm{C}_{20}\mathrm{H}_{12})^{-\bullet}(\mathrm{DME})_3$] в ДМЭ в интервале 180–260 К.

Схема 2.

Предлагаемая схема превращений в значительной степени условна, поскольку все стадии протекают быстро даже при низкой температуре и, следовательно, в реакционной смеси возможно присутствие других интермедиатов. Однако это не отражается на общем направлении превращений и сама реакция, так же, как и реакция с нафталином, подтверждает присутствие в исходной смеси А высокоактивного одновалентного иодила TmI.

Авторы заявляют, что у них нет конфликта интересов.

БЛАГОДАРНОСТИ

Работа выполнена с использованием оборудования центра коллективного пользования "Аналитический центр ИМХ РАН" при поддержке гранта "Обеспечение развития материально-технической инфраструктуры центров коллективного пользования научным оборудованием" (уникальный идентификатор RF—2296.61321X0017, номер соглашения 075-15-2021-670).

ФИНАНСИРОВАНИЕ

Работа выполнена при поддержке совместного гранта Российского научного фонда и правительства Нижегородской области (проект № 22-23-20149).

СПИСОК ЛИТЕРАТУРЫ

- Arnold P.L., Cloke F.G.N., Nixon J. F. // Chem. Commun. 1998. P. 797.
- 2. Arnold P.L., Cloke F.G.N., Hitchcock P.B., Nixon J.F. // J. Am. Chem. Soc. 1996. V. 118. № 32. P. 7630.
- 3. *Martin J.D., Corbett J.D.* // Angew. Chem. Int. Ed. Engl. 1995. V. 34. № 2. P. 233.
- Bochkarev M.N. // Coord. Chem. Rev. 2004. V. 248. P. 835.
- Fong F.K., Cape J.A., Wong E.Y. // Phys. Rev. 1966. V. 151. P. 299.

- Dirscherl R., Lee H.U. // J. Chem. Phys. 1980. V. 73. P. 3831.
- Li W.-L., Chen T.-T., Chen W.-J. et al. // Nature Commun. 2021. V. 12. P. 6467.
- 8. *Käning M., Hitzschke L., Schalk B. et al.* // J. Phys. D. 2011. V. 44. № 22. Art. 224005.
- Käning M., Schalk B., Schneidenbach H. // J. Phys. D. 2007. V. 40. P. 3815.
- 10. Бочкарев М.Н., Фагин А.А., Хорошеньков Г.В. // Изв. AH. Сер. хим. 2002. С. 1757 (Bochkarev M.N., Fagin A.A., Khoroshenkov G.V. // Russ. Chem. Bull. Int. Ed. 2002. V. 51. P. 1909).
- 11. Хорошеньков Г.В., Фагин А.А., Бочкарев М.Н. и др. // Изв. АН. Сер. хим. 2003. С. 1627 (Khoroshenkov G.V., Fagin A.A., Bochkarev M.N. et al. // Russ. Chem. Bull. 2003. V. 52. P. 1715).
- 12. Фагин А.А., Бухвалова С.Ю., Бочкарев М.Н. // Коорд. химия. 2022. Т. 48. № 11. С. 686 (Fagin A.A., Bukhvalova S.Yu., Bochkarev M.N. // Russ. J. Coord. Chem. 2022. V. 48. P. 741). https://doi.org/10.1134/S1070328422110045
- 13. *Бочкарев М.Н., Протченко А.П.* // Приборы и техника эксперимента. 1990. № 1. С. 194.
- 14. *Bochkarev M.N., Fedushkin I.L., Fagin A.A. et al.* // Angew. Chem. Int. Ed. 1997. V. 36. № 1–2. P. 133.
- 15. Bochkarev M.N., Fedushkin I.L., Fagin A.A. et al. // Chem. Commun. 1997. P. 1783.
- Evans W.J., Allen N.T., Ziller J.W. // J. Am. Chem. Soc. 2000. V. 122. P. 11749.
- 17. Levason W., Matthews M.L., Reid G. et al. // Dalton Trans. 2004. P. 51.
- 18. *Taylor W.V., Xie Z.-L., Cool N.I. et al.* // Inorg. Chem. 2018. V. 57. № 16. P. 10364.
- Brown M.D., Levason W., Reid G. et al. // Dalton Trans. 2006. P. 5648.
- Mashima K., Nakayama Y., Nakamura A. et al. // J. Organomet. Chem. 1994. V. 473. P. 85.
- 21. Münzfeld L., Schoo C., Bestgen S. et al. // Nature Commun. 2019. V. 10. Art. 3135.
- 22. Segal B.G., Kaplan M., Fraenkel G.K. // J. Chem. Phys. 1965. V. 43. P. 4191.